

**Министерство образования и науки Российской Федерации**

ФЕДЕРАЛЬНОЕ ГОСУДАРСТВЕННОЕ АВТОНОМНОЕ ОБРАЗОВАТЕЛЬНОЕ УЧРЕЖДЕНИЕ ВЫСШЕГО ПРОФЕССИОНАЛЬНОГО  
ОБРАЗОВАНИЯ

**САНКТ-ПЕТЕРБУРГСКИЙ УНИВЕРСИТЕТ ИНФОРМАЦИОННЫХ  
ТЕХНОЛОГИЙ, МЕХАНИКИ И ОПТИКИ**

Кафедра

Систем Управления и Информатики

Группа Р3340

**Лабораторная работа №9**  
**“Экспериментальное построение частотных**  
**характеристик типовых динамических звеньев”**  
Вариант - 5

Выполнил \_\_\_\_\_ (подпись)  
(фамилия, и.о.)

Проверил \_\_\_\_\_ (подпись)  
(фамилия, и.о.)

" \_\_\_\_ " \_\_\_\_\_ 20 \_\_\_\_ г.

Санкт-Петербург,

20 \_\_\_\_ г.

Работа выполнена с оценкой \_\_\_\_\_

Дата защиты " \_\_\_\_ " \_\_\_\_\_ 20 \_\_\_\_ г.

**Цель работы.** Изучение частотных характеристик типовых динамических звеньев и способов их построения.

**Исходные данные:** Типы звеньев представлены в таблице 1. Исследования производятся при следующих коэффициентах:  $k = 15$  и  $T = 0.2$ . И при гармоническом входном воздействии с единичной амплитудой и переменной частотой.

Таблица 1 – Исходные данные

Тип звена	Передаточная функция
Апериодическое 1го порядка	$W(s) = \frac{k}{Ts + 1}$
Интегрирующее с замедлением	$W(s) = \frac{k}{s \cdot (1 + Ts)}$
Изотропное	$W(s) = \frac{k \cdot (1 + Ts)}{s}$

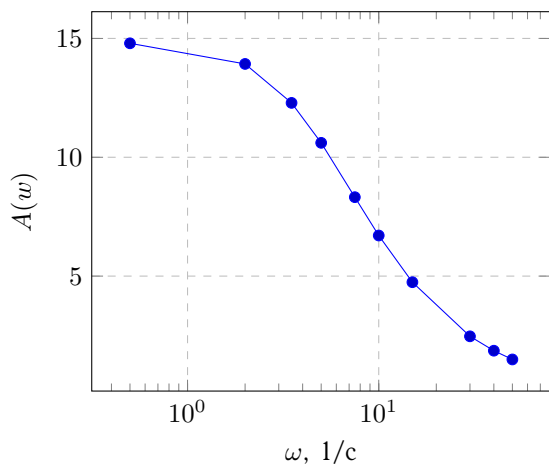
# 1 Исследование апериодического звена 1го порядка

Экспериментальные данные представлены в таблице 2

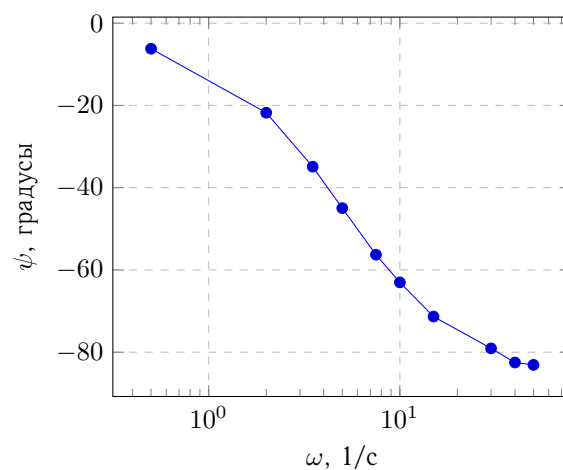
Таблица 2 – Экспериментальные данные

$\omega$	$\lg w$	$A(\omega)$	$L(w) = 20 \lg A(\omega)$	$\psi(w)$
0.5	-0.3	14.8	23.4	-0.11
2	0.3	13.93	22.88	-0.38
3.5	0.54	12.29	21.79	-0.61
5	0.7	10.61	20.51	-0.79
7.5	0.88	8.32	18.4	-0.98
10	1	6.71	16.53	-1.1
15	1.18	4.74	13.52	-1.25
30	1.48	2.47	7.84	-1.38
40	1.6	1.86	5.39	-1.44
50	1.7	1.49	3.48	-1.45

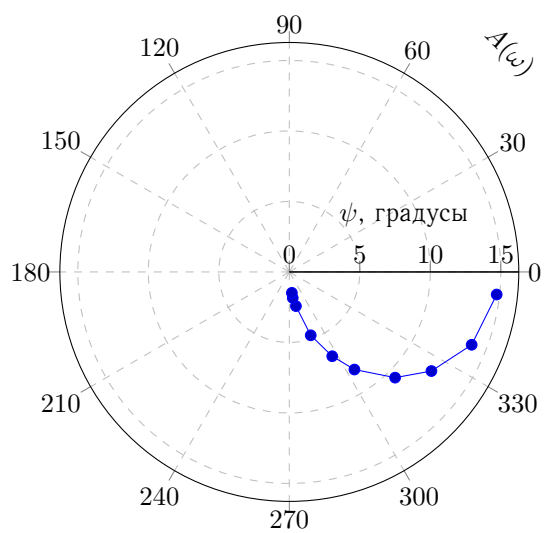
Частотные характеристики представлены на рисунке 1



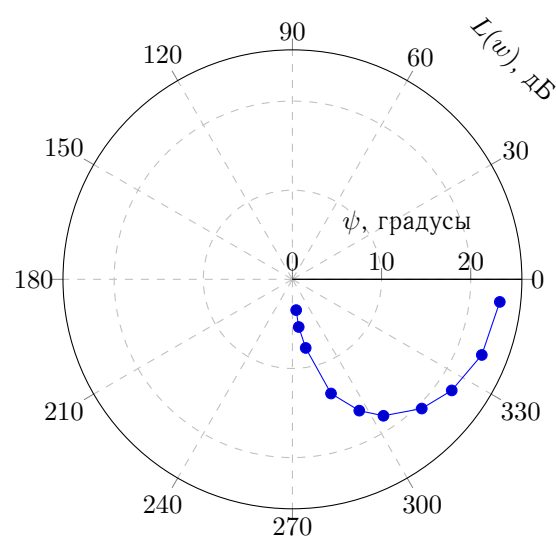
(a) АЧХ



(b) ФЧХ



(c) АФЧХ



(d) ЛАФЧХ

Рисунок 1 – Частотные характеристики апериодического звена

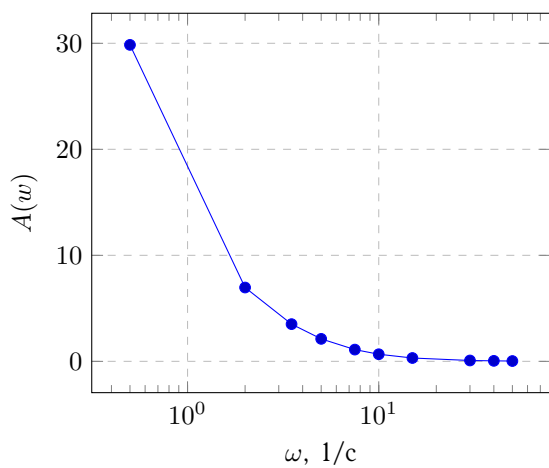
## 2 Исследование интегрирующего с замедлением звена

Экспериментальные данные представлены в таблице 3

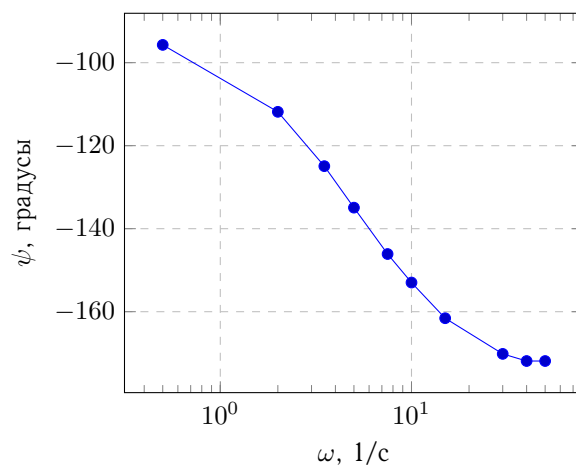
Таблица 3 – Экспериментальные данные

$\omega$	$\lg w$	$A(\omega)$	$L(w) = 20 \lg A(\omega)$	$\psi(w)$
0.5	-0.3	29.85	29.5	-1.67
2	0.3	6.96	16.86	-1.95
3.5	0.54	3.51	10.91	-2.18
5	0.7	2.12	6.53	-2.36
7.5	0.88	1.11	0.9	-2.55
10	1	0.67	-3.47	-2.67
15	1.18	0.32	-10	-2.82
30	1.48	$8.2 \cdot 10^{-2}$	-21.7	-2.97
40	1.6	$4.7 \cdot 10^{-2}$	-26.65	-3
50	1.7	$3 \cdot 10^{-2}$	-30.5	-3

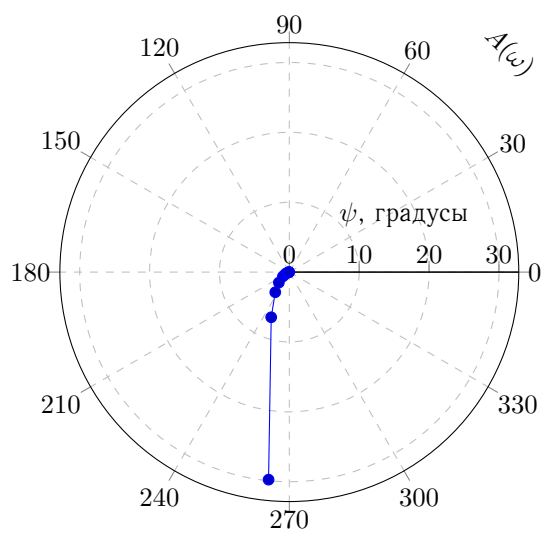
Частотные характеристики представлены на рисунке 2



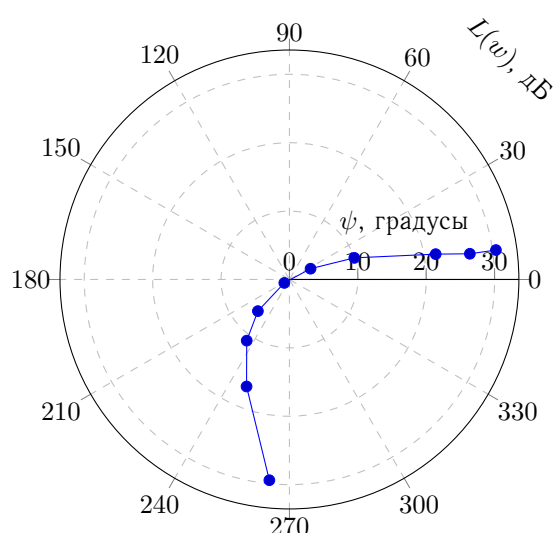
(a) АЧХ



(b) ФЧХ



(c) АФЧХ



(d) ЛАФЧХ

Рисунок 2 – Частотные характеристики интегрирующего с замедлением звена

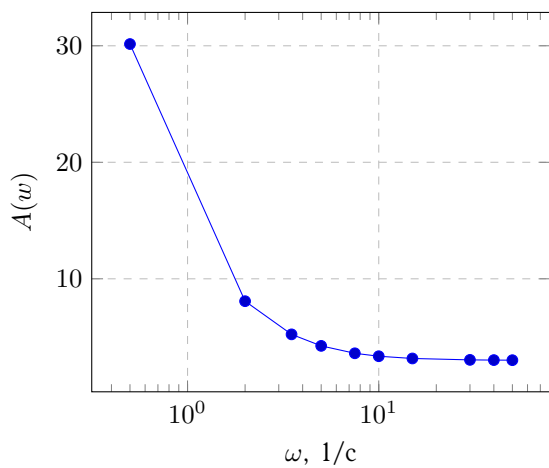
### 3 Исследование изодромного звена

Экспериментальные данные представлены в таблице 4

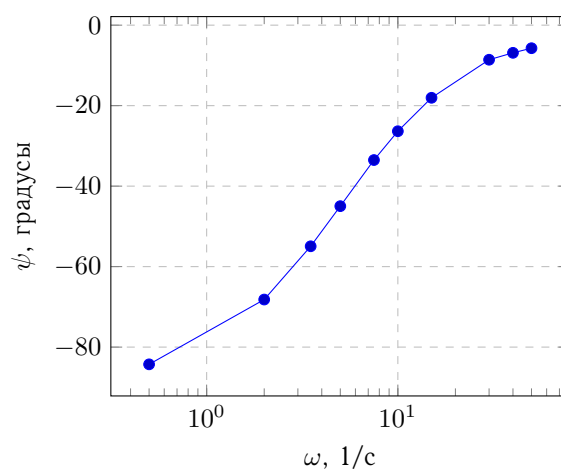
Таблица 4 – Экспериментальные данные

$\omega$	$\lg w$	$A(\omega)$	$L(w) = 20 \lg A(\omega)$	$\psi(w)$
0.5	-0.3	30.15	29.59	-1.47
2	0.3	8.08	18.15	-1.19
3.5	0.54	5.23	14.37	-0.96
5	0.7	4.24	12.55	-0.79
7.5	0.88	3.61	11.14	-0.59
10	1	3.35	10.51	-0.46
15	1.18	3.16	10	-0.32
30	1.48	3.04	9.66	-0.15
40	1.6	3.02	9.61	-0.12
50	1.7	3.02	9.59	-0.1

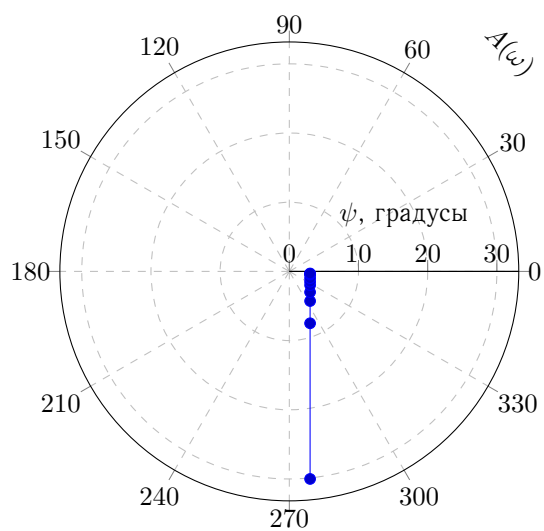
Частотные характеристики представлены на рисунке 3



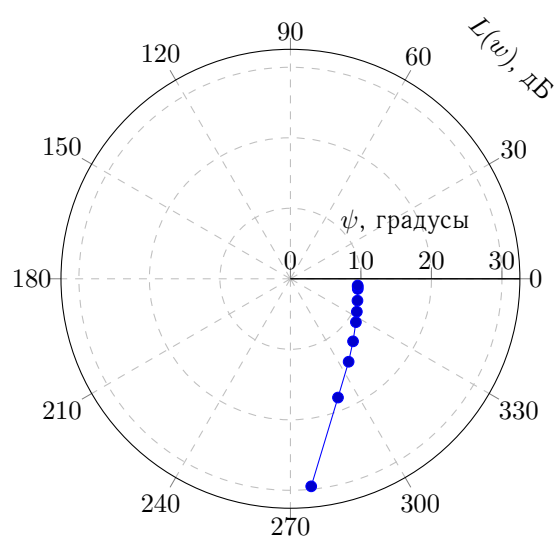
(a) АЧХ



(b) ФЧХ



(c) АФЧХ



(d) ЛАФЧХ

Рисунок 3 – Частотные характеристики изодромного звена



## 4 Асимптотические ЛАЧХ исследуемых звеньев

На рисунке 4 представлены асимптотические и экспериментальные ЛАЧХ.

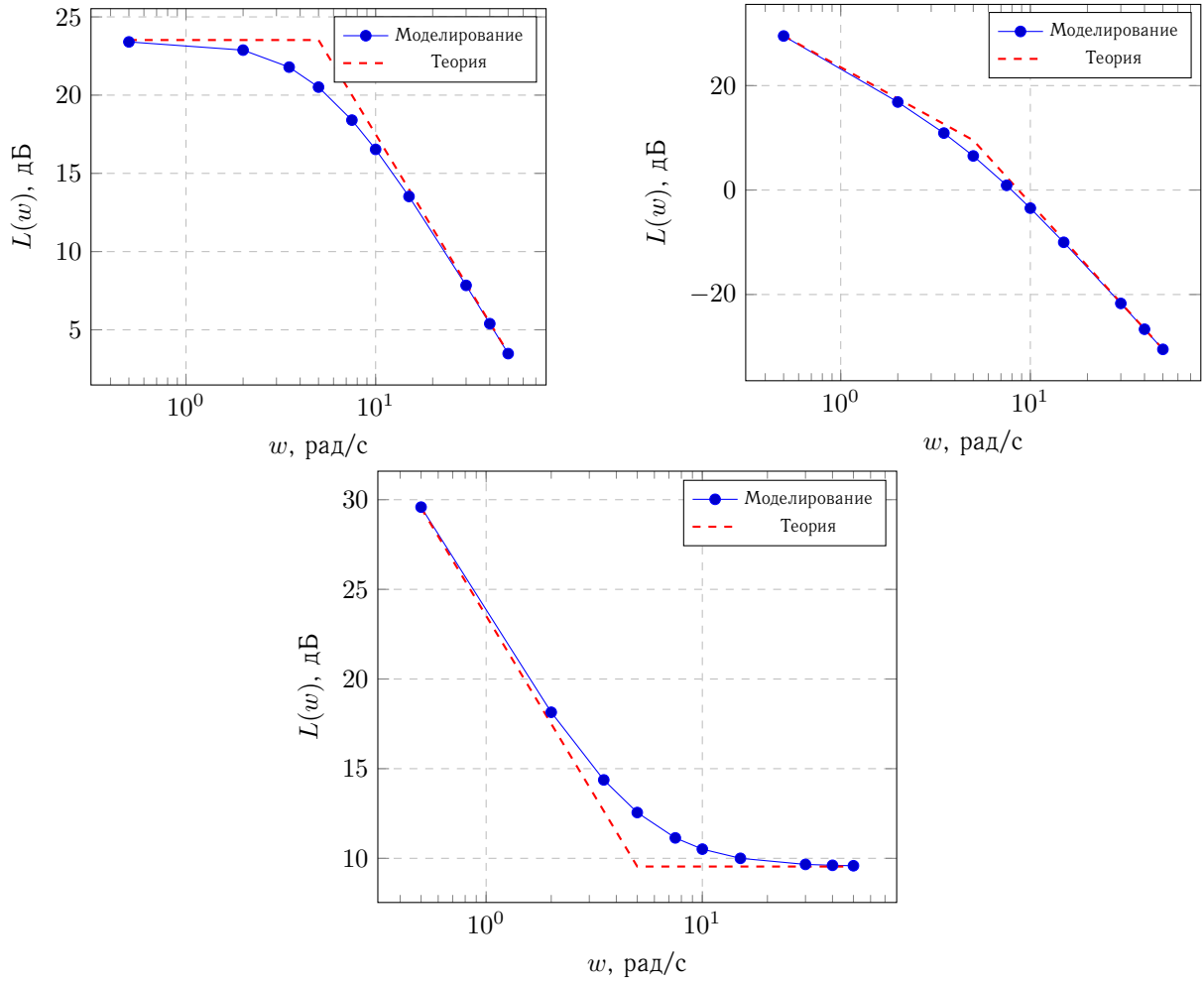


Рисунок 4 – ЛАЧХ

## **Выводы**

В данной работе были исследованы три динамических звена: апериодическое 1го порядка, интегрирующее с замедлением и изотропное. В результате были получены частотные характеристики, по которым можно судить о значениях амплитуды и фазы выходного сигнала звена в зависимости от параметров входного сигнала. Также были построены теоретические асимптотические ЛАЧХ, которые подтвердили экспериментальные данные.